

## § 15. Obsada podziemna.

**Naprężenia dopuszczalne**, poziome i pionowe, dla różnych gatunków gruntu zestawione są w tabl. X. Dopuszczalne naprężenia poziome zależą w dużym stopniu od głębokości. Przy tym samym gruncie im głębiej, tem większe naprężenia są dozwolone. Dla zwykłej ziemi nasypanej można liczyć na głębokości 30 cm po **0,7 kg/cm<sup>2</sup>**, a na głębokości 200 cm po **2 kg/cm<sup>2</sup>**. Poleca się jednak możliwie do tych granic nie dochodzić, a przynajmniej u stopy słupa (czy fundamentu) dopuszczać wartości, odpowiadające biernemu parciu ziemi czyli odporowi.

Naprężenie parcia biernego ziemi  $k_b$  (w kg/cm<sup>2</sup>) jest wprost proporcjonalne do głębokości  $g$  (w cm), do ciężkości właściwej  $\gamma$ , zależy od kąta zesypu  $\varphi$  i wyraża się wzorem (p. tabl. X)

$$\boxed{k_b = 0,001 \cdot g \cdot \gamma \cdot \tan^2 \left( 45^\circ + \frac{\varphi}{2} \right)} \quad (62)$$

**Belki odporowe.** Słupy drewniane zakopuje się w warunkach normalnych na głębokość  $\frac{1}{6}$  długości całego słupa, przyczem głębokość zakopania powinna wynosić co najmniej 160 cm.

$$\boxed{\frac{1}{6} (h^W + g^T) \leq g^T \geq 160 \text{ cm}} \quad (63)$$

Samo zakopanie słupa rzadko kiedy może zapewnić ustój należyty. Ten sam słup, jako żywe drzewo, trzymał się w ziemi dzięki rozgałęzionym korzeniom. Obecnie drzewo, pozbawione korzeni, musi być wzmocnione przynajmniej za pomocą dwóch belek odporowych. Belki te powiększą płaszczyznę parcia bocznego, wezmą podziemną część słupa jakby w kluby, a jednocześnie powiększą też płaszczyznę parcia pionowego i zapobiegą zapadaniu się słupa w głąb.

Rys. 57 przedstawia jeden z projektów wzmocniania ustoj słupa za pomocą belek odporowych. Jako wytyczne tego projektu przyjęto taką wielkość i takie rozmieszczenie belek, a by głąbo-

kość punktu obojętnego wynosiła  $\frac{2}{3}$  całej głębokości zakopania, a więc tyle, co przy słupie bez belek odporowych (przykł. 25-ty). W tym przypadku największe naprężenia będą na  $\frac{1}{3}$  głębokości zakopania (wierzchołek paraboli) i u stopy słupa. Na tych właśnie głębokościach zaprojektowano belki odporowe.

Ponieważ naprężenie u stopy słupa jest 3 razy większe od naprężenia na głębokości jednej trzeciej, przeto, nie chcąc zmieniać głębokości punktu obojętnego, wyznaczamy powierzchnię pręca belki górnej 3 razy większą od powierzchni belki dolnej.

Przy wyznaczaniu wymiarów belek trzeba pamiętać, że część powierzchni tych belek, osłonięta słupem (w „cieniu“ słupa), nie odgrywa roli czynnej.

Na rys. 57 górną belkę wyznaczono o podwójnej szerokości ( $2 \cdot d$ ) w porównaniu z belką dolną. Powierzchnia parcia w belce górnej wynosi

$$(v^B - v^Z) \cdot 2d,$$

a w dolnej —

$$(v^T - v^Z) \cdot d.$$

Wyznaczając dla belki górnej 3 razy większą powierzchnię parcia, niż dla dolnej, otrzymamy  $(v^B - v^Z) \cdot 2d = 3 \cdot (v^T - v^Z) \cdot d$ , a stąd długość belki górnej

$$v^B = \frac{3}{2} v^T - \frac{1}{2} v^Z. \quad (a)$$

**Przykład 27.** Zaprojektować obsadę podziemną dla drewnianego słupa przelotowego z przykładu 1-go.

Wyznaczamy głębokość zakopania; wg. wzoru (63)

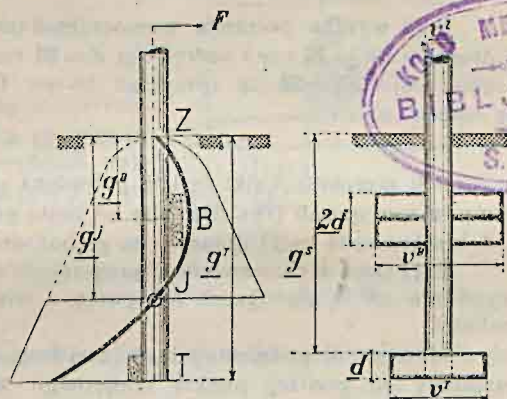
$$g^T \geq \frac{1}{3} \cdot 775 = 155 \text{ cm}, \quad g^T \geq 160 \text{ cm},$$

a wg. tablicy XI dla momentu sił:  $P = 173 \text{ kg}$ ,  $S_{\perp} = 93,5 \text{ kg}$

$$MZ = 173 \cdot 683 + 93,5 \cdot 387,5 = 154390 \text{ kgcm}$$

wystarczyłaby głębokość 160 cm; dla większego bezpieczeństwa wyznaczamy

$$g^T = 190 \text{ cm}.$$



Rys. 57.

W przykładzie 25-ym obliczyliśmy ustój takiego słupa bez belek odporowych i otrzymaliśmy naprężenia:

$$p^B = 0,9 \text{ kg/cm}^2, \quad p^T = 2,7 \text{ kg/cm}^2,$$

podczas gdy największe dopuszczalne naprężenia wynoszą dla głębokości 63 cm i 190 cm (tabl. X dla 30 cm... 0,7 kg/cm<sup>2</sup>, dla 200 cm... 2 kg/cm<sup>2</sup>):

$$k^B = 0,95 \text{ kg/cm}^2 \quad k^T = 1,92 \text{ kg/cm}^2,$$

a parcia bierne (tabl. X — ziemia nasypowa mokra):

$$(k_b)^B = 0,39 \text{ kg/cm}^2 \quad (k_b)^T = 1,18 \text{ kg/cm}^2.$$

Stąd wynika potrzeba wzmocnienia ustaju. Dolną belkę wyznaczamy o długości  $v^T = 75$  cm i szerokości  $d = 20$  cm. Średnia grubość podziemnej części słupa  $v^Z = 23$  cm (przykład 25-ty). Długość belki górnej obliczymy ze wzoru (a)

$$v^B = \frac{3}{2} \cdot 75 - \frac{1}{2} \cdot 23 \approx 100 \text{ cm},$$

przyczem szerokość belki będzie podwójna — 40 cm. Belki odporowe założymy w ten sposób (rys. 57), aby oś belki górnej była na głębokości 63 cm, a dolna krawędź belki dolnej — na głębokości 190 cm.

Przy takim rozstawieniu i przy takich wymiarach belek punkt obojętny wypadnie na  $\frac{2}{3}$  głębokości zakopania, a wierzchołek paraboli — na  $\frac{1}{3}$  głębokości.

Moment sił podziemnych obliczaliśmy zawsze wg wzoru (55), sumując momenty sił poniżej punktu obojętnego względem poziomu wierzchołka paraboli. Stosując tę metodę do naszego przykładu, otrzymamy wzór identyczny ze wzorem (60) dla fundamentu betonowego z rozszerzoną podstawą. Dolna belka odporowa odgrywa tę samą rolę, co stopień w fundamencie betonowym.

W naszym przykładzie:

$$g^T = 190 \text{ cm}; \quad g^J = 127 \text{ cm}; \quad v^T = 75 \text{ cm}; \quad v^Z = 23 \text{ cm};$$

$$g^S = 190 - 20 = 170 \text{ cm}; \quad v_1 = \frac{170}{190} = 0,895;$$

szerokość umyślona

$$v' = 75 - (75 - 23) \cdot 0,895^2. \quad (3 \cdot 0,895 - 2)^2 = 55,45 \text{ cm}.$$

Moment wywrotowy słupa względem punktu obojętnego wynosi

$$MJ = 173 \cdot (683 + 127) + 93,5 \cdot (387,5 + 127) = 188\,236 \text{ kgcm},$$

a więc naprężenie u stopy słupa wg wzoru (60)

$$p^T = \frac{4 \cdot 188\,236}{190 \cdot (190 - 127) \cdot 55,45} = 1,13 \text{ kg/cm}^2;$$

naprężenie to jest mniejsze od parcia biernego

$$1,13 \text{ kg/cm}^2 < 1,18 \text{ kg/cm}^2.$$

Na rys. 57 linja stroma, okalająca parabolę, a przechodząca na głębokości 30 cm przez 0,7 kg/cm<sup>2</sup>, a na głębokości 200 cm — przez 2 kg/cm<sup>2</sup> (tabl. X), przedstawia granicę największych dopuszczalnych naprężeń. Ponie-

waŒ parabola nie przekracza tej granicy, przeto ustój słupa możemy uwaŒać za dostateczny.

Należy jeszcze obliczyć grubość belek odporowych. Belki (rys. 58) pracują na zginanie, przyczem belka dolna przy tej samej grubości pracuje w gorszych warunkach (siły są jednakowe, ramię w belce górnej jest wprowadzie większe o 50%, ale zato moment wytrzymałości jest o 100% większy, niż w belce dolnej). A zatem obliczamy tylko belkę dolną. Belka (rys. 58) wystaje z poza konturów słupa o

$$\frac{1}{2} (75 - 23) = 26 \text{ cm};$$

wystająca powierzchnia parcia wynosi

$$26 \cdot 20 = 520 \text{ cm}^2.$$

Siłę gnącą znajdziemy, mnoŒąc tę powierzchnię przez naprężenie średnie; dla uproszczenia rachunku liczymy na naprężenie największe, panujące w dolnej krawędzi  $p^T$ , —

$$520 \cdot 1,13 = 588 \text{ kg};$$

ramię zginania wynosi

$$\frac{1}{2} \cdot 26 = 13 \text{ cm};$$

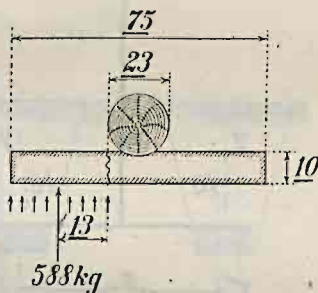
najmniejszy dopuszczalny moment wytrzymałości belki przy naprężeniu dopuszczalnem (tabl. I) 145 kg/cm<sup>2</sup>

$$\frac{588 \cdot 13}{145} = 53 \text{ cm}^3;$$

najmniejsza dopuszczalna grubość belki

$$\sqrt{\frac{53 \cdot 6}{20}} = 4 \text{ cm};$$

wyznaczamy dla pewności 10 cm.



Rys. 58.

**Podstawy saniowe.** Rys. 59 przedstawia schematycznie słupe na podstawie saniowej. U stopy słupe  $T$  przymocowano płozy, a płozy na obu krańcach połączone z płytami podstawowymi. Punktem obrotu jest stopa słupe  $T$ . Moment wywrotowy  $F \cdot (h^0 + g^T)$  zastępujemy momentem pary pionowych sił umyślonych  $X'$ ,  $X''$ , przyłożonych w pośrodku osi obu płyt podstawowych,

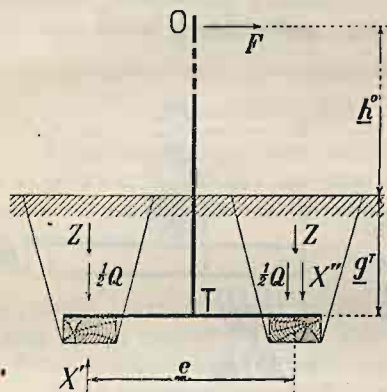
$$F \cdot (h^0 + g^T) = X \cdot e;$$

$e$  jest odstępem między osiami płyt.

Pod wpływem momentu wywrotowego słupe będzie usiłował obracać się w ziemi wokół punktu  $T$ , przyczem jedna z płyt

(na rys. — prawa) będzie się wrzynać wdół, a druga (na rys. — lewa) — unosić w górę.

Waga słupa, przewodów, podstawy saniowej i t. d.  $Q$  kg dzieli się na obie płyty porównu. Jedna połowa siły  $Q$  u płyty



Rys. 59.

prawej powiększa siłę nacisku, druga zaś połowa u płyty lewej zmniejsza siłę wypierania ziemi.

Wskutek powyższych przesunięć ziemia nad płytą prawą będzie miała dążność obsuwania się, a nad płytą lewą — unoszenia się ku górze. Objętość ziemi opadającej, albo wypieranej, możemy sobie wyobrazić w postaci obeliska (rys. 59). Dolną podstawą tego obeliska jest powierzchnia płyty saniowej, a podstawa górna — rozszerzona — wypada na

powierzchni ziemi. Wszystkie cztery ścianki boczne mają jednakową pochyłość, zależną od gatunku ziemi. Można przyjąć, że pochyłość ta średnio wynosi około

$$\boxed{17^\circ}.$$

Oznaczmy wagę jednego obeliska ziemi przez  $Z$ . Całkowita siła nacisku płyty prawej na dno wykopu wynosi

$$X + \frac{1}{2} Q + Z,$$

a siła wypierania ziemi ku górze przez płytę lewą —

$$X - \frac{1}{2} Q.$$

Ustój słupa będzie zapewniony, gdy:

- 1) pionowe naprężenie, wywołane naciskiem siły  $X + \frac{1}{2} Q + Z$ , nie przekroczy granicy dopuszczalnej i gdy
- 2) ciężar obeliska ziemi będzie większy od siły wypierania

$$\boxed{Z > X - \frac{1}{2} Q}. \quad (64)$$

**Przykład 28.** Zaprojektować podstawę saniową do żelaznego słupa przelotowego z przykładu 13 go.

**Wyznaczenie wymiarów.** Moment zginania słupa w przypadku (a) wynosi w przekroju przyziemnym  $MZ = 540\,700$  kgcm. Wg tabl. XI głębokość zakopa-

nia powinna wynosić około 200 cm; ze względu na solidne umocowanie za pomocą podstawy saniowej wyznaczamy głębokość mniejszą

$$g^T = 170 \text{ cm.}$$

Projektujemy dwie płyty podstawowe o grubości 12 cm i powierzchni pracy

$$60 \text{ cm} \times 70 \text{ cm};$$

odstęp między środkami płyt

$$e = 150 \text{ cm};$$

na płytach wspierają się dwie płozy z żelaza korytkowego

№ 18;

słup łączy się z płozami za pośrednictwem czterech belek z kątownika, dwóch łubek i nitów (rys. 60).

**Sprawdzenie naprężeń.** Waga przewodów 270 kg; — izolatorów, trzonów i poprzeczника 30 kg; — słupa na całej długości

$$510 \cdot \frac{1160 + 170}{1160} \approx 600 \text{ kg};$$

— podstawy saniowej (żelazo: 420 cm korytka № 18, 164 cm kątownika  $70 \times 70 \times 9$ ; 2400 cm<sup>2</sup> blachy grub. 1 cm; drzewo: 280 cm belki o przekroju  $30 \text{ cm} \times 12 \text{ cm}$ )

$$92 + 15 + 19 + 61 \approx 190 \text{ kg.}$$

Waga sadzi 480 kg.

Przy podziale ogólnej wagi

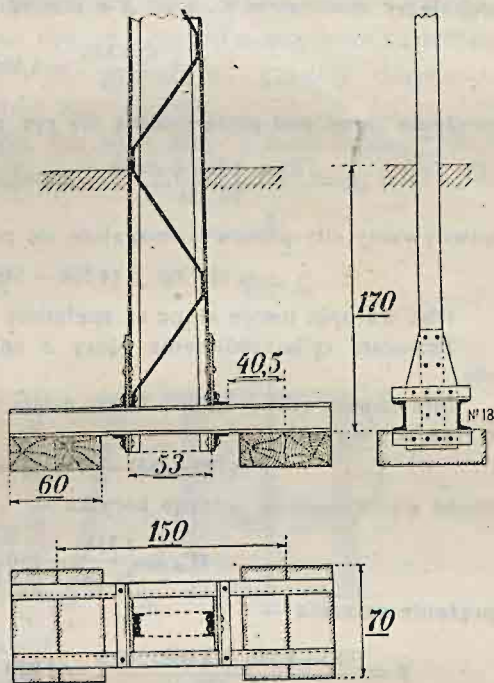
$$Q = 270 + 30 + 600 + 190 + (480)$$

na obie płyty podstawowe należy uwzględnić, że waga, ciężąca na płycie unoszonej jest dla ustoju słupa korzystna, waga zaś na płycie pracy — szkodliwa. Dla bezpieczeństwa będziemy liczyli najmniejszą wagę, ciężącą na płycie unoszonej w warunkach zwykłych, gdy przewody nie są obciążone sadzią

$$\frac{1}{2} Q' = \frac{1}{2} (270 + 30 + 600 + 190) = 545 \text{ kg,}$$

a na płycie pracy — wagę największą, występującą podczas sadzi,

$$\frac{1}{2} Q'' = \frac{1}{2} (270 + 30 + 600 + 190 + 480) = 785 \text{ kg.}$$



Rys. 60.

Wymiary obeliska: wysokość  $170 + 12 = 182$  cm, podstawa dolna  $70 \text{ cm} \times 60 \text{ cm}$ , a podstawa górna

$$70 + 2 \cdot 182 \cdot \operatorname{tg} 17^\circ = 181 \text{ cm}, \quad 60 + 2 \cdot 182 \cdot \operatorname{tg} 17^\circ = 171 \text{ cm};$$

objętość całego obeliska  $2\,825\,000 \text{ cm}^3$ ; po odliczeniu belek drewnianych (rys. 59)  $60 \times 70 \times 12 \approx 50\,000 \text{ cm}^3$  pozostanie objętość samej ziemi wypieranej lub pracej  $2\,825\,000 - 50\,000 = 2\,775\,000 \text{ cm}^3$ .

Również dla bezpieczeństwa będziemy liczyli dla ziemi wypieranej najmniejszą ciężkość właściwą podczas suszy  $\gamma = 1,6$ , a dla ziemi pracej — największą ciężkość podczas deszczu  $\gamma = 1,68$ :

$$Z' = 2\,775 \cdot 1,6 = 4\,440 \text{ kg}; \quad Z'' = 2\,775 \cdot 1,68 = 4\,662 \text{ kg}.$$

Moment wywrotu względem punktu  $T$

$$MT = 340 \cdot (1\,070 + 170) + 305 \cdot (580 + 170) = 650\,350 \text{ kgcm}$$

zastępujemy momentem pary sił  $X$  o ramieniu  $150 \text{ cm}$

$$X = \frac{650\,350}{150} = 4\,336 \text{ kg}.$$

Naprężenie ziemi pod płytą cisnącą (na rys. prawą)

$$p = \frac{785 + 4\,336 + 4\,662}{70 \cdot 60} = 2,3 \text{ kg/cm}^2 < 2,5 \text{ kg/cm}^2.$$

Porównujemy siły pionowe, zmagające się przy płycie unoszonej,

$$4\,440 \text{ kg} > (4\,336 - 545) \text{ kg}.$$

Oba warunki ustoju słupa są spełnione.

Pozostało tylko obliczenie płozy z żelaza korytkowego № 18 na zginanie.

Siła cisnąca  $(785 + 4\,336 + 4\,662)$  działa na środku płyty drewnianej; ramię (rys. 60) wynosi

$$\frac{1}{2} \cdot (150 - 53) - (7 + 1) = 40,5 \text{ cm};$$

moment wytrzymałości jednego korytka —

$$W_x = \frac{1\,354}{\frac{1}{2} \cdot 18} = 150 \text{ cm}^3,$$

naprężenie zginania —

$$p = \frac{(785 + 4\,336 + 4\,662) \cdot 40,5}{2 \cdot 150} = 1\,320 \text{ kg/cm}^2 < 1\,500 \text{ kg/cm}^2.$$

**Fundamenty betonowe.** Rys. 61—I przedstawia słup, obsadzony w pień betonowy i postawiony w niezasypanym wykopie. Na dno wykopu działa symetrycznie pionowa siła  $Q$ , jako waga fundamentu, słupa, poprzeczników, przewodów i t. d. Przy odpowiednich wymiarach fundamentu słup nie będzie się chylił, a nawet może wytrzymać moment wywrotowy od niewielkiej siły





$$F_2 \cdot (h^0 + g^J).$$

Naprężenia kształtują się wg paraboli. Dopóki naprężenie największe (na rys. 61- II naprężenie  $p^T$ ) nie przekroczy granicy dopuszczalnej, dopóty ustój słupa będzie zapewniony.

Oba przytoczone wyżej przypadki są czysto teoretyczne. W praktyce fundament betonowy zawdzięcza ustój zarówno odporom pionowym, jak poziomym. Metoda obliczania fundamentu, którą chcemy zastosować, polega właśnie na rozłożeniu siły poziomej  $F$  na takie składniki umyślone:  $F_1$  i  $F_2$

$$F = F_1 + F_2,$$

aby działanie jednego można było pokonać odporami wyłącznie pionowymi, a działanie drugiego — wyłącznie poziomymi.

Bieg obliczenia będzie następujący. Wystawiamy sobie, że fundament jest niezakopany i obliczamy największą siłę  $F_1$ , którą można byłoby przyłożyć w punkcie  $O$  bez uszczerbku dla ustojności słupa. W tym celu wyznaczamy dla naprężenia  $p^B$  największą wartość dopuszczalną; obliczamy odległość  $n$  z równania (61)

$$n = \frac{2 \cdot Q}{3 \cdot p^B \cdot v},$$

mimośród  $m$

$$m = \frac{1}{2} u - n,$$

wreszcie z równości momentów (65) znajdujemy siłę poziomą  $F_1$

$$F_1 = \frac{Q \cdot m}{h^0 + g^T}.$$

Rzeczywista siła obciążenia słupa  $F$  jest zazwyczaj większa od znalezionej siły umyślonej  $F_1$ . Nadwyżkę, czyli siłę  $F_2$

$$F_2 = F - F_1,$$

składamy całkowicie na odpory boczne. Największe naprężenie  $p^T$  obliczamy z momentu  $MJ$

$$MJ = F_2 \cdot (h^0 + g^J)$$

z pomocą wzorów ogólnych: (51), (54), (55). W fundamentach o jednostajnej szerokości  $v$  (na rys. 61 wymiar  $v$  jest prostopadły do płaszczyzny rysunku) naprężenie  $p^T$  wynosi (wzór 58)

$$p^T = \frac{12 MJ}{(p^T)^2 \cdot v},$$

a w fundamentach ze schodkiem (rys. 55) oblicza się z równań: (59), (60).

Gdy znalezione naprężenia boczne w żadnym punkcie nie przekraczają naprężeń dopuszczalnych (tabl. X), a ponadto, gdy największa wartość (u stopy fundamentu) jest mniejsza od biernego parcia ziemi (wzór 62, tabl. X), to możemy uważać ustój za wystarczający.

Na zakończenie wypadnie jeszcze sprawdzić, czy nie grozi zmiążdżenie betonu przez moment wywrotowy samego słupa względem fundamentu.

**Przykład 29.** Słup odporowy z przykładu 14-go otrzymał fundament betonowy o przekroju kwadratowym i wymiarach podanych na rys. 62. Sprawdzić ustój słupa.

**Sily.** Przypadek najniekorzystniejszy, gdy działają sily:

$$\frac{2}{3} N = 1900 \text{ kg}, \quad S_{\perp} = 410 \text{ kg}.$$

Sily pionowe są następujące: waga przewodów 165 kg, sadzi 290 kg, poprzeczników z wyprawą 60 kg, górnej części słupa 235 kg, dolnej (na wysokości 660 cm) 480 kg, podziemnej

$$480 \cdot \frac{250}{660} = 180 \text{ kg}.$$

Objętość fundamentu

$$210^2 \cdot 60 + 120^2 \cdot 190 = 5\,382\,000 \text{ cm}^3,$$

objętość piramidy ściętej o podstawie dolnej  $210 \times 210$  cm i górnej

$$210 + 2 \cdot 250 \text{ tg } 17^\circ = 363 \text{ cm}$$

$363 \times 363$  cm wynosi

$$\frac{1}{3} \cdot 250 \cdot (210^2 + 363^2 + 210 \cdot 363) = 21\,008\,000 \text{ cm}^3,$$

objętość ziemi opartej o fundament

$$21\,008\,000 - 5\,382\,000 = 15\,626\,000 \text{ cm}^3,$$

waga tej ziemi w stanie wilgotnym

$$15\,626 \cdot 1,68 = 26\,250 \text{ kg};$$

a waga fundamentu

$$5\,382 \cdot 2 = 10\,764 \text{ kg}.$$

**Naprężenia pionowe.** Przypuścimy, że fundament jest odkopany i podlega tylko sile ciężkości  $Q$ . Im większa jest ta siła, tem lepiej dla ustojy. Z wyliczonych wyżej ciężarów do rachunku nie wciągniemy sadzi (bo nie jest zjawiskiem stałym), ani ziemi (bo w tej chwili jest usunięta);

$$Q = 165 + 60 + (235 + 480 + 180) + 10\,764 = 11\,884 \text{ kg}.$$

Dopuszczalne naprężenie pionowe wynosi  $2,5 \text{ kg/cm}^2$  (tabl. X). Nie możemy

jednak wykorzystać całej tej wartości, gdyż po zakopaniu słupa przybędzie jeszcze waga ziemi, a od czasu do czasu przybędzie sadź. A zatem odliczymy z wartości  $2,5 \text{ kg/cm}^2$  średnie naprężenie, które może powstać na dnie wykopu od ziemi i sadzi

$$\frac{26 \cdot 250 + 290}{210 \cdot 210} = 0,6 \text{ kg/cm}^2.$$

Pozostaje naprężenie

$$2,5 - 0,6 = 1,9 \text{ kg/cm}^2.$$

Zaczynamy słup obciążać siłą poziomą. Skutek będzie taki, jakbyśmy przesuwali siłę pionową  $Q$  w położenie ekscentryczne. Gdy osiągniemy na krawędzi schodka naprężenie  $p^B = 1,9 \text{ kg/cm}^2$ , to punkt przyłożenia siły  $Q$  od krawędzi pracy wypadnie na odległości (wzór „61”)

$$n = \frac{2 \cdot 11 \cdot 884}{3 \cdot 1,9 \cdot 210} = 20 \text{ cm},$$

a mimośród

$$m = \frac{1}{2} 210 - 20 = 85 \text{ cm}.$$

A zatem największy moment, który można złożyć na karb naprężeń pionowych, wynosi

$$MT = 11 \cdot 884 \cdot 85 = 1 \cdot 010 \cdot 140 \text{ kgcm},$$

a największa siła dopuszczalna  $F_1$

$$F_1 = \frac{1 \cdot 010 \cdot 140}{1 \cdot 070 + 250} = 765 \text{ kg}.$$

**Naprężenia boczne.** Zасыpujemy fundament ziemią. Pień betonowy, wzięty przez ubitą ziemię, jakby w kluby, może wytrzymać większy moment wywrotowy. Próbuujemy go obciążyć dodatkową siłą  $F_2$

$$F_2 = 1 \cdot 900 - 765 = 1 \cdot 135 \text{ kg}.$$

Obliczenie największego naprężenia bocznego u stopy słupa wykonaliśmy w przykładzie 26-tym i otrzymaliśmy

$$p^T = 1,57 \text{ kg/cm}^2.$$

Bierne parcie mokrej ziemi nasypowej wynosi u stopy słupa wg wzoru (62) i wg tablicy X

$$k_b = 0,001 \cdot 250 \cdot 1,68 \cdot \text{tg}^2 \left( 45^\circ + \frac{35^\circ}{2} \right) = 6,2 \cdot 250 \cdot 10^{-2} = 1,55 \text{ kg/cm}^2.$$

Przekroczenie tak nieznaczne, że nie zwracamy na nie uwagi. Na rys. 62 wykres paraboliczny naprężeń bocznych jest otoczony pochyłymi liniami prostymi, które stanowią granicę największych naprężeń dopuszczalnych. Naprężenia w żadnym punkcie granicy tej nie przekraczają.

**Schodek.** Pod wpływem momentu wywrotowego schodek fundamentu jest wystawiony na zginanie (rys. 62). Szerokość schodka

$$\frac{1}{2} (210 - 120) = 45 \text{ cm};$$

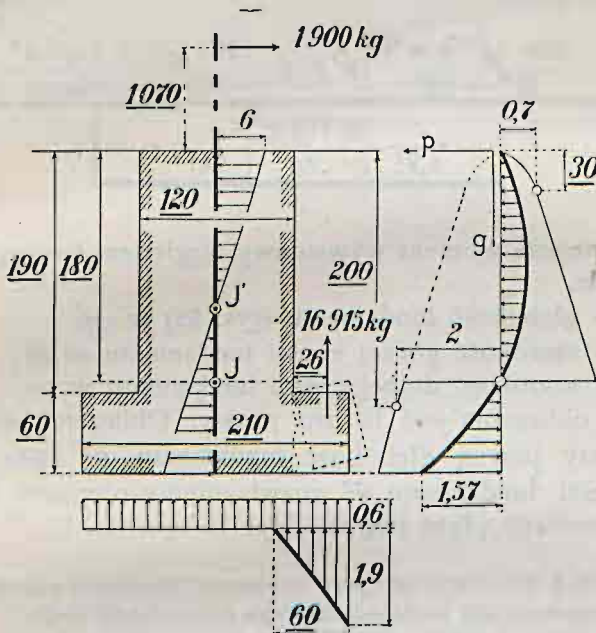
na tej szerokości naprężenia pionowe wynoszą od  $2,5 \text{ kg/cm}^2$  do

$$0,6 + 1,9 \cdot \frac{60 - 45}{60} = 1,08 \text{ kg/cm}^2;$$

siła zginająca schodek jest wypadkową z naprężeń, równa się

$$\frac{1}{2} (2,5 + 1,08) \cdot (45 \cdot 210) = 16\,915 \text{ kg}$$

i przechodzi przez środek ciężkości wykresu naprężeń pionowych w kształcie trapezu. Środek ciężkości znajdujemy wykreślnie; leży on w odległości 26 cm od przekroju niebezpiecznego. Moment wytrzymałości przekroju schodka —



Rys. 62.

$$\frac{1}{6} \cdot 210 \cdot 60^2 = 126\,000 \text{ cm}^3;$$

naprężenie zginania

$$\rho_g = \frac{16\,915 \cdot 26}{126\,000} = 3,5 \text{ kg/cm}^2 < 4 \text{ kg/cm}^2.$$

**Naprężenia od parcia wiatru.** Dotychczas przypuszczaliśmy, że działa sam naciąg. Siłę tej przeciwstawiliśmy pionowe naprężenia u dna fundamentu i poziome — u dwóch ścianek prostopadłych do linii. Siła parcia wiatru działa prostopadle do naciągu, a więc obciąża dwie ścianki pozostałe, równoległe do linii. Wszystkie cztery ścianki są jednakowej wielkości. Na pierwsze dwie złożyliśmy moment 1 418 750 kgcm, tembardziej będziemy mogli na dwie pozostałe złożyć niewielki moment parcia wiatru

$$410 \cdot (580 + 180) = 311\,600 \text{ kgcm}.$$

**Ustój słupa względem betonu** sprawdziliśmy w przykładzie 24-ym; największe naprężenie betonu wynosi  $6 \text{ kg/cm}^2$  wobec dopuszczalnego  $28 \text{ kg/cm}^2$ .

Inny sposób obliczania ustoju (wg Fröhlicha) nadaje się tylko do fundamentów betonowych o przekroju kwadratowym z rozszerzoną podstawą nakształt schodka (rys. 55). Uważając za dopuszczalne takie obciążenie, przy którym słup pochyla się o kąt, nieprzekraczający  $1^\circ$ , wykonano cały szereg doświadczeń i wprowadzono wzór

$$\left[ (u^T)^3 - \frac{188 \cdot (g^T + u^Z)}{(g^T + 94)} (u^T)^2 + \frac{188 \cdot (g^T + \frac{1}{2} u^Z) u^Z}{(g^T + 94)} (u^T) - \frac{M' \cdot 10^6}{5,95 \cdot g^T \cdot (g^T + 94)} = 0 \right], \quad (66)$$

w którym

$M'$  oznacza moment wywrotowy względem środka głębokości  $g^T$ , w kgcm,

$g^T$  — głębokość fundamentu (rys. 55) w cm,

$u^Z$  — szerokość górnej części fundamentu w cm,

$u^T$  — szerokość dolnej części fundamentu w cm.

Bieg obliczenia jest bardzo prosty. Obliczamy moment  $M'$ , a założywszy pewną głębokość fundamentu  $g^T$  oraz szerokość górnej części fundamentu  $u^Z$ , rozwiązujemy równanie (66) i znajdujemy szerokość płyty pracy  $u^T$ .

**Przykład 30.** Zaprojektować fundament betonowy schodkowy o przekroju kwadratowym dla słupa odporowego z przykładu 14-go.

Przypadek najniekorzystniejszy, gdy działają siły:

$$\frac{2}{3} N = 1900 \text{ kg}, \quad S_1 = 410 \text{ kg}.$$

Fundament obliczymy tylko na pierwszą siłę, gdyż druga jest znacznie mniejsza, a działając prostopadle, będzie pokryta naprężeniami ziemnymi na dwóch nieobciążonych ściankach fundamentu, równoległych do linii.

Moment względem powierzchni ziemi

$$MZ = 1900 \cdot 1070 = 2033000 \text{ kgcm};$$

wg tabeli XI pożądana głębokość fundamentu wynosi co najmniej 230 cm; wyznaczamy

$$g^T = 250 \text{ cm}.$$

Szerokość słupa w przekroju przyziemnym wynosi 69 cm. Szerokość górnej części pnia betonowego dostosujemy do szerokości słupa i wyznaczmy, przypuścimy

$$u^Z = 120 \text{ cm}.$$

Moment wywrotu względem środka głębokości fundamentu

$$M^J = 1\,900 \cdot (1\,070 + \frac{1}{2} \cdot 250) = 2\,270\,500 \text{ kgcm.}$$

Podstawiamy do równania (66) wyznaczone i obliczone wartości

$$(u^T)^3 - \frac{188 \cdot (250 + 120)}{(250 + 94)} (u^T)^2 + \frac{188 \cdot (250 + \frac{1}{2} \cdot 120) \cdot 120}{(250 + 94)} (u^T) - \frac{2\,270\,500 \cdot 10^6}{5,95 \cdot 250 \cdot (250 + 94)} = 0$$

$$(u^T)^3 - 202 \cdot (u^T)^2 + 20\,330 \cdot u^T - 4\,437\,000 = 0$$

i znajdujemy

$$205 < u^T < 210;$$

wyznaczamy szerokość dna fundamentu

$$u^T = 210 \text{ cm.}$$

Tablica I. *Spółczynniki wytrzymałościowe dla drzewa, żelaza i betonu.*

Materiał	Ciężkość właściwa $\gamma$		Sprężystość $E$	Napężenie dopuszczalne $k$		Stożek bezpieczeństwa na wyboczenie $\sigma$	
	g/cm <sup>3</sup>	kg/cm <sup>3</sup>		kg/cm <sup>2</sup>			
D r z e w o				części narażone na gnicie	części nie-narażone na gnicie	sprężyste	
						części narażone na gnicie	części nie-narażone na gnicie
nienasycone (tylko do napięć niskich) . . . . .				80	100	5	5
iglaste nasycone . . . . .				145	190	4	3
twarde nasycone . . . . .		średnio		190	280	3	3
sosna, nasycona olejem smołowym: 90 kg na m <sup>3</sup> . . . . .	0,6	106 000		190	220	3	3
twarde, nasycone olejem smołowym: dąb 60 kg na m <sup>3</sup> , buk 180 kg na m <sup>3</sup> . . . . .				280	330	3	3
kliny na ścięcie 18 kg/cm <sup>2</sup> ; kliny z drzewa twardego na ścięcie 20 kg/cm <sup>2</sup> ; nacisk klina na wrąb = dopuszczalne napężenie odpowiedniego gatunku drzewa zmniejszone do połowy;							
Ż e l a z o				na rozciąganie, ściskanie i zginanie		sprężyste; wzór (32)	niesprężyste; wzory (33), (34)
stal zlewna . . . . .	7,9	2 250 000		2 000		3	2
żelazo zlewne . . . . .	7,85	2 150 000		1 500		3	2
żeliwo . . . . .	7,25	1 000 000		300			
śruby 750 kg/cm <sup>2</sup> ; śruby na ścinanie 900 kg/cm <sup>2</sup> ; ciśnienie śruby na ściankę 1800 kg/cm <sup>2</sup> ; nity na ścinanie 1200 kg/cm <sup>2</sup> ; ciśnienie nita na ściankę 3000 kg/cm <sup>2</sup> ;							
B e t o n	2,0	200 000		ściskanie 28 kg/cm <sup>2</sup> ; rozciąganie 4 kg/cm <sup>2</sup> ;			

Tablica II. Średnice drutów i linek.

Przekrój s	Średnica $\delta$		Przekrój s	Średnica linki $\delta$	Przekrój s	Średnica linki $\delta$
	drutu	linki				
mm <sup>2</sup>	mm		mm <sup>2</sup>	mm	mm <sup>2</sup>	mm
1	1,13	1,3	35	7,5	300	22,5
1,5	1,38	1,6	50	9,0	400	26,3
2,5	1,79	2,1	70	10,5	500	29,4
4	2,26	2,6	95	12,5	625	32,9
6	2,77	3,2	120	14	800	37,2
10	3,57	4,1	150	15,8	1 000	41,6
16	4,52	5,1	185	17,5		
25	5,65	6,3	240	20,3		

Tablica III. Normalne wymiary słupów żelaznych.

Rodzaj słupa	Sila pozioma u wierzchołka $F$	Wysokość nadziemnej części słupa $hW$	Średnica albo szerokość słupa u wierzchołka	Przyrost szerokości słupa $\Delta$	Kąt pochylenia ukośników $\alpha$
	kg	cm	cm	cm/cm	
słupy rurowe	100	700	$dW = 10$	0,007	—
	1 000	700	$dW = 18$	0,014	
słupy kratowe z dwóch korytek	200	600	$uW = 10$	0,021	około 35°
		1 200	$uW = 13$	0,028	
	600	600	$uW = 12$	0,034	
		1 200	$uW = 14$	0,034	
słupy kratowe z czterech kątowników	400	600	$uW$ albo $vW$	13	0,020
		1 200		15	0,030
	2 000	600		22	0,039
		1 200		25	0,039

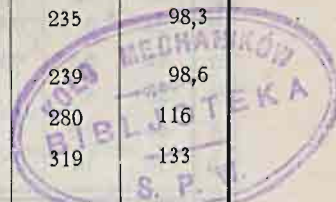


Tablica IV.  $Kq$ 

№ profilu	Szerokość cm	Grubość cm	Przekrój $s$ cm <sup>2</sup>	Waga 1 metra kg	Odległość środk cięż- kości $\xi_0$ cm	Momenty bezwładności	
						$J_\xi$ cm <sup>4</sup>	$J_x = J_{min}$ cm <sup>4</sup>
3 <sup>1</sup> / <sub>2</sub>	3,5	0,4	2,67	2,08	1,00	2,96	1,24
		0,6	3,87	3,02	1,08	4,13	1,77
4	4	0,4	3,08	2,40	1,12	4,47	1,86
		0,6	4,48	3,49	1,20	6,35	2,67
		0,8	5,80	4,52	1,28	7,90	3,38
4 <sup>1</sup> / <sub>2</sub>	4,5	0,5	4,30	3,36	1,28	7,85	3,25
		0,7	5,86	4,57	1,36	10,4	4,39
		0,9	7,34	5,73	1,44	12,6	5,40
5	5	0,5	4,80	3,75	1,40	11,0	4,59
		0,7	6,56	5,12	1,49	14,5	6,02
		0,9	8,24	6,43	1,56	17,9	7,67
5 <sup>1</sup> / <sub>2</sub>	5,5	0,6	6,31	4,92	1,56	17,3	7,24
		0,8	8,23	6,42	1,64	22,1	9,35
		1,0	10,07	7,85	1,72	26,3	11,2
6	6	0,6	6,91	5,39	1,69	22,7	9,43
		0,8	9,03	7,04	1,77	29,2	12,1
		1,0	11,07	8,63	1,85	34,8	14,6
6 <sup>1</sup> / <sub>2</sub>	6,5	0,7	8,7	6,8	1,85	33,4	13,8
		0,9	11,0	8,6	1,93	41,3	17,2
		1,1	13,2	10,3	2,00	48,7	20,7
7	7	0,7	9,4	7,3	1,97	42,3	17,6
		0,9	11,9	9,3	2,05	52,5	22,0
		1,1	14,3	11,1	2,13	62	26,0
7 <sup>1</sup> / <sub>2</sub>	7,5	0,8	11,5	8,9	2,13	59	24,4
		1,0	14,1	11,0	2,21	71	29,8
		1,2	16,7	13,0	2,29	82,5	34,7

towniki (rys. 36).

№ profilu	Szerokość	Grubość	Przekrój $S$	Waga 1 metra	Odległość środk cięż- kości $\xi_0$	Momenty bezwładności	
						$J_{\xi}$	$J_x = J_{min}$
	cm	cm	cm <sup>2</sup>	kg	cm	cm <sup>4</sup>	cm <sup>4</sup>
8	8	0,8	12,3	9,6	2,26	72,0	29,6
		1,0	15,1	11,8	2,34	87,5	35,9
		1,2	17,9	13,9	2,41	102	43,0
9	9	0,9	15,5	12,1	2,54	116	47,8
		1,1	18,7	14,6	2,62	138	57,1
		1,3	21,8	17,0	2,70	158	65,9
10	10	1,0	19,2	14,9	2,82	177	73,3
		1,2	22,7	17,7	2,90	207	86,2
		1,4	26,2	20,4	2,98	235	98,3
11	11	1,0	21,2	16,5	3,07	239	98,6
		1,2	25,1	19,6	3,15	280	116
		1,4	29,0	22,6	3,21	319	133
12	12	1,1	25,4	19,8	3,36	340	140
		1,3	29,7	23,2	3,44	393	162
		1,5	33,9	26,5	3,51	445	186
13	13	1,2	30,0	23,4	3,64	472	194
		1,4	34,7	27,0	3,72	540	223
		1,6	39,3	30,6	3,80	604	251
14	14	1,3	35,0	27,3	3,92	638	262
		1,5	40	31,2	4,00	723	298
		1,7	45	35,1	4,08	805	334
15	15	1,4	40,3	31,4	4,2	845	347
		1,6	45,7	35,7	4,3	949	391
		1,8	51	39,9	4,4	1 052	438



Tablica V. *Korytka* (rys. 42).

№ profilu	Wysokość		Szerokość		Grubość		Przekrój <i>s</i>	Waga 1 metra kg	Odleg- łość środk ciężkości $\xi_0$	Moment bezwład- ności	
	<i>h</i>	<i>b</i>	ścianki środko- wej <i>c</i>	pólek <i>d</i>	$J_y = J_{min}$	$J_x$					
	cm	cm								cm	cm
4	4	3,5	0,5	0,7	6,21	4,85	1,33	6,68	14,1		
5	5	3,8	0,5	0,7	7,12	5,55	1,37	9,12	26,4		
6 $\frac{1}{2}$	6,5	4,2	0,55	0,75	9,03	7,05	1,42	14,1	57,5		
8	8	4,5	0,6	0,8	11,0	8,60	1,45	19,4	106		
10	10	5	0,6	0,85	13,5	10,5	1,55	29,3	206		
12	12	5,5	0,7	0,9	17	13,3	1,60	43,2	354		
14	14	6	0,7	1	20,4	15,9	1,75	62,7	605		
16	16	6,5	0,75	1,05	24,0	18,7	1,84	85,3	925		
18	18	7	0,8	1,1	28,0	21,8	1,92	114	1 354		
20	20	7,5	0,85	1,15	32,2	25,1	2,01	148	1 911		
22	22	8	0,9	1,25	37,4	29,2	2,14	197	2 690		
24	24	8,5	0,95	1,3	42,3	33,0	2,23	248	3 598		
26	26	9	1	1,4	48,3	37,7	2,36	317	4 823		
28	28	9,5	1	1,5	53,3	41,6	2,53	399	6 276		
30	30	10	1	1,6	58,8	45,8	2,70	495	8 026		

Tablica VI. *Gwint Whitworth'a*.

Średnica zewn.		Średnica rdzenia cm	Średnica zewn.		Średnica rdzenia cm
cali ang.	cm		cali ang.	cm	
$\frac{1}{2}$	1,27	0,999	$1\frac{1}{4}$	3,175	2,710
$\frac{5}{8}$	1,587	1,292	$1\frac{3}{8}$	3,492	2,950
$\frac{3}{4}$	1,905	1,580	$1\frac{1}{2}$	3,810	3,268
$\frac{7}{8}$	2,222	1,861	$1\frac{5}{8}$	4,127	3,477
1	2,540	2,133	$1\frac{3}{4}$	4,445	3,794
$1\frac{1}{8}$	2,857	2,393	$1\frac{7}{8}$	4,762	4,040

Tablica VII. *Izolatory*  
wg norm niemieckich.

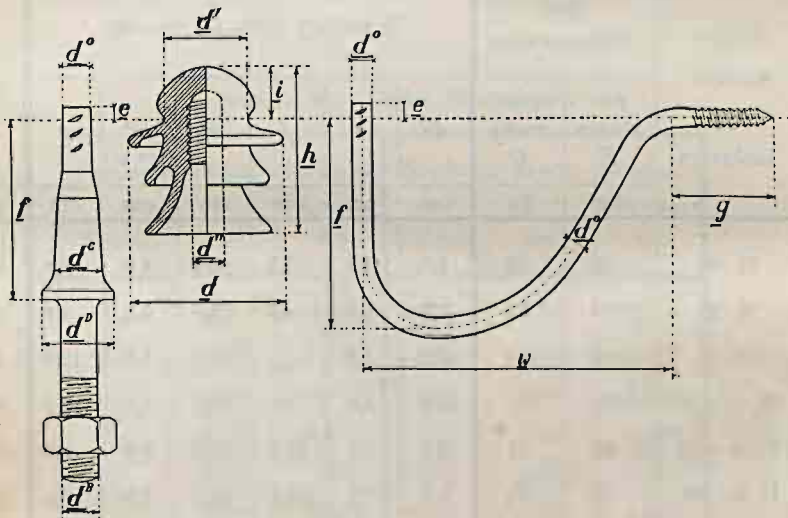
Typ izola- tora	Napięcie nomi- nalne	Wymiary (rys. 63)					Waga
		$d'$	$d$	$i$	$h$	$d''$	
	V	cm	cm	cm	cm	cm	kg
N. 80	500	4,2	8,0	3,3	8,5	1,9	0,29
N. 95	500	5,0	9,5	3,7	9,5	2,2	0,54
H. 6	6 000	6,5	12,0	3,7	13,0	2,8	0,97
H. 10	10 000	7,0	13,5	4,1	14,5	2,8	1,36
H. 15	15 000	8,0	15,0	4,1	16,5	2,8	1,88
H. 25	25 000	9,5	19,0	6,2	22,0	2,8	3,61
H. 35	35 000	11,5	25,0	8,3	29,5	3,8	6,58

Tablica VIII. *Hakowate trzony izolatorowe*  
o przekroju kołowym ( $k = 1500 \text{ kg/cm}^2$ ) wg norm niemieckich.

№	Odpow- iedni typ izolatora	Siły dopuszczalne		Wymiary (rys. 63, rys. 46)						Waga
		po- zioma $F$	pio- nowa $Q$	$d^0$	$e$	$f$	$w$	$w'$ (rys. 46)	$g$	
		kg	kg	cm	cm	cm	cm	cm	cm	
1	N. 80	64	55	1,6	1,3	9,5	10,8	4,0	7,5	0,5
2	N. 95	103	84	1,9	1,7	9,9	12,0	4,5	9,5	0,8
3	H. 6	104	48	2,2	1,0	15,1	32,1	5,5	12,0	1,8
4	H. 6—15	120	71	2,5	1,1	19,2	32,3	7,0	12,0	2,5
5	H. 6—15	92	71	2,5	1,1	25,2	32,3	9,0	12,0	2,9
6	H. 6—25	92	64	2,5	1,2	25,1	36,1	8,5	12,0	3,0

Tablica IX. *Proste trzony izolatorowe*  
o przekroju kotowym ( $k = 1500 \text{ kg/cm}^2$ ) wg norm niemieckich.

№	Odpowiedni typ izolatora	Do- puszcz. siła po- zioma $F$ kg	W y m i a r y (rys. 63)						W a g a kg
			$d^o$	$d^c$	$d^D$	$d^B$	$e$	$f$	
			cm	cm	cm	call ang.	cm	cm	
1	N 80	70	1,6	1,6	2,6	$1/2$	1,3	8,2	0,31
2	"	280	1,6	2,4	3,5	$3/4$	1,3	8,2	0,6
3	N. 95	130	1,9	1,9	2,6	$5/8$	1,7	8,3	0,5
4	"	575	1,9	3,0	4,5	1	1,7	8,3	1,1
5	H. 6	120	2,2	2,2	4,0	$7/8$	1,0	14,0	1,0
6	"	280	2,2	2,9	4,5	$7/8$	1,0	14,0	1,15
7	"	560	2,2	3,6	5,5	$11/8$	1,0	14,0	2,0
8	H. 6 — 10	100	2,2	2,2	4,0	$7/8$	1,0	16,5	1,1
9	H. 6 — 15	130	2,5	2,5	4,0	1	1,1	18,9	1,5
10	H. 6 — 25	105	2,5	2,5	4,0	1	1,2	23,8	1,7
11	" "	260	2,4	3,3	5,5	1	1,2	23,8	2,1
12	" "	560	2,4	4,4	6,0	$13/8$	1,2	23,8	3,7
13	H. 35	165	3,2	3,2	5,0	$11/4$	1,8	30,7	3,4
14	"	560	3,2	4,8	6,5	$11/2$	1,8	30,7	5,5
15	"	1120	3,2	6,1	8,5	$17/8$	1,8	30,7	8,7



Rys. 63.

Tablica X. *Spółczynniki wytrzymałościowe dla ziemi.*

Rodzaj gleby	Ciężkość właściwa $\gamma$	Kąt zesypu $\varphi$	Bierne parcie ziemi (odpór) $k_b$	Największe dopuszczalne naprężenie pionowe *)
	g/cm <sup>3</sup>	stopni	kg/cm <sup>2</sup>	
Grunt skalisty . . . . .	—	—	—	7 do 15
Grunt kamienisty, piasek gruboziarnisty lub suchy pokład piasku miątkiego . . . . .	—	—	—	4 do 6
Gлина tłusta sucha . . . . .	1,6	45°	9,36	
„ nietłusta sucha . . . . .	1,5	43°	8,06	2,5
Tłuczeń kamienny mokry . . . . .	1,6	37°	6,44	
Ziemia nasypowa mokra	1,68	35°	6,20	1
Żwir mokry . . . . .	1,86	27°	4,93	
Piasek mokry . . . . .	—	—	—	1
Gлина tłusta mokra . . . . .	1,99	23°	4,54	
„ nietłusta mokra . . . . .	1,95	23°	4,45	
Moczary, torfowiska . . . . .	—	—	—	

\*) Największe dopuszczalne naprężenie poziome zależy od głębokości. Dla ziemi nasypowej, żwiru, piasku i gliny mokrej można liczyć na głębokości 200 cm — napr. dop. **2** kg/cm<sup>2</sup>, a na głębokości 30 cm — napr. dop. **0.7** kg/cm<sup>2</sup>.

Tablica XI. *Normalna głębokość zakopania słupa.*

Moment zginania względem przekroju przyziemnego <i>MZ</i>	Normalna głębokość zakopania słupa	
	bez fundamentu betonowego	z fundamentem betonowym
kgcm	cm	
50 000 — 200 000	160	—
200 000 — 300 000	160 — 170	140
300 000 — 400 000	180 — 200	140 — 150
400 000 — 500 000	200	150 — 160
500 000 — 700 000	—	160 — 170
700 000 — 900 000	—	170 — 180
900 000 — 1 200 000	—	180 — 200
1 200 000 — 1 500 000	—	200 — 220
1 500 000 — 2 000 000	—	220 — 230
2 000 000 — 3 000 000	—	230 — 270

